

Є. С. ДОРОЖОВСЬКИЙ, Б. М. КОРДУБА, В. Г. КОСТЕНКО

### ЗАДАЧА ДІРІХЛЕ ПЛОСКОЇ ЕЛЕКТРОСТАТИКИ

В даній роботі зовнішня задача Діріхле для плоскої електростатики в необмеженій області розв'язується методом Г. М. Положого [1] шляхом зведення останньої до внутрішньої задачі в прямокутнику для рівняння Пуассона.

Використовуючи симетрію задачі, вдалося на машині «Урал-1» розв'язати систему алгебраїчних рівнянь, яка при цьому виникає, а також за порівнянно простою формулою сумарних зображень знайти поле потенціалу.

#### § 1. ДОСЛІДЖЕННЯ ВПЛИВУ ГРАНИЦІ І ГРАНИЧНИХ УМОВ

Нехай між двома відрізками паралельних прямих (екранами) довільної довжини, віддалі між якими  $120 \text{ mm}$ , симетрично розміщені три пари паралельних електродів (щілин) однакової довжини  $15 \text{ mm}$ ,

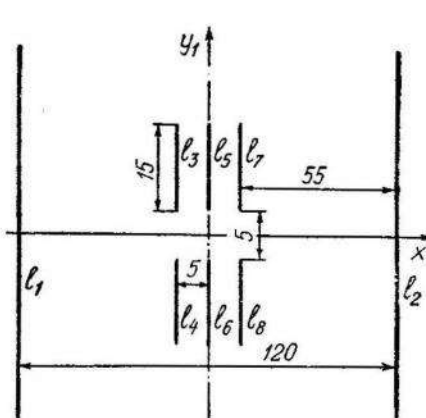


Рис. 1

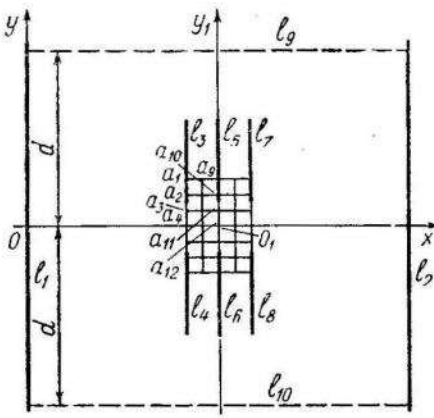


Рис. 2

а віддалі між двома сусідніми електродами  $5 \text{ mm}$  (рис. 1). На екранах і прилеглих до них електродах задається потенціал  $u=1$ , а на інших електродах  $u=0$ . При цих умовах необхідно знайти поле потенціалу даної системи, причому в першу чергу найбільший інтерес являє собою частина поля  $R$ , що лежить між електродами.

Математично задача зводиться до знаходження розв'язку рівняння Лапласа

$$\frac{\partial^2 u}{\partial x^2} + \frac{\partial^2 u}{\partial y^2} = 0 \quad (1)$$

на площині при заданих граничних умовах

$$\begin{aligned} u &= 1 \text{ на } l_1, l_2, l_3, l_4, l_7, l_8; \\ u &= 0 \text{ на } l_5, l_6. \end{aligned} \quad (2)$$

Природно замінити задачу (1), (2) для необмеженої області такою ж задачею для обмеженої області, наприклад прямокутника. Замкнемо систему в прямокутник, провівши для цього на одній і тій же віддалі  $d$  по обидві сторони від осі  $ox$  два відрізки паралельних прямих  $l_9$  і  $l_{10}$  до перетину з екранами. Для збереження між  $l_1, l_3, l_4$  і між  $l_2, l_7, l_8$  приблизно однорідного поля задамо на  $l_9$  і  $l_{10}$   $u=1$ .

Таким чином, приходимо до внутрішньої задачі Діріхле для рівняння Лапласа

$$\Delta u = 0 \quad (1)$$

в прямокутнику з щілинами при граничних умовах

$$\begin{aligned} u &= 1 \text{ на } l_1, l_2, l_3, l_4, l_7, l_8, l_9, l_{10}; \\ u &= 0 \text{ на } l_5, l_6. \end{aligned} \quad (3)$$

Нижче буде визначено віддалу  $d$ , при якій вплив границі і граничних умов на  $l_9$  і  $l_{10}$  в межах потрібної точності не буде впливати на значення розв'язку задачі (1), (2) в області, що нас цікавить.

Спочатку розглядалася задача (1), (3) в прямокутнику розміром  $120 \times 60 \text{ мм}$  ( $d=30 \text{ мм}$ ), яка була замінена задачею Діріхле для рівняння Пуассона

$$\Delta U = q(x, y) \quad (4)$$

в тому ж прямокутнику, де  $q(x, y)=0$  всюди всередині прямокутника, за винятком щілин, а на останніх  $q(x, y)$  знаходиться із умов, щоб

$$U(x, y) \Big|_{l_3, \dots, l_8} = u(x, y) \Big|_{l_3, \dots, l_8}. \quad (5)$$

Крім того,

$$U(x, y) \Big|_{l_1, l_2, l_5, l_{10}} = u(x, y) \Big|_{l_1, l_2, l_5, l_{10}} = 1. \quad (6)$$

Таким чином, задача (1), (3) для многозв'язної області після визначення  $q(x, y)$  із умов (5) зводиться до задачі (4), (6) в однозв'язній області.

Методом, який буде викладено нижче, задача (4), (5), (6) розв'язувалася послідовно при  $d=30, 60, 90, 120 \text{ мм}$  при одних і тих самих кроках  $h$  і  $h_1$  сітки. Виявилося, що при  $d=90 \text{ мм}$  і  $120 \text{ мм}$  розв'язки задачі (4), (5), (6) в області  $R$ , що нас цікавить, збігаються з точністю до п'яти знаків. Через це було вибрано прямокутник розміром  $120 \times 180 \text{ мм}$  і досліджено вплив граничних умов на значення потенціалу в області  $R$ . Очевидно, що найменші значення потенціалу задачі (1), (2) на горизонтальних перетинах системи прямих будуть знаходитися в точках перетину цих прямих з віссю  $o_1y_1$  (рис. 2). Якщо на  $l_9$  і  $l_{10}$  задати потенціал  $U_0 < 1$ , а потім підрахувати  $U(x, y)$  на осі  $o_1y_1$ , і знайдеться при цьому така вузлова точка на ній, наприклад, на відрізку від електрода  $l_5$  до  $l_9$ , в якій виявиться потенціал  $U_1 > U_0$ , то, очевидно, задано на  $l_9$  і  $l_{10}$  потенціал менший, ніж мінімальне значення потенціалу на  $l_9$  і  $l_{10}$  задачі (1), (2). Потім одержане значення  $U_1$  задаємо на  $l_9$  і  $l_{10}$  і знову знаходимо  $U(x, y)$  на тому ж відрізку осі  $o_1y_1$ . Якщо

при цьому знайдеться така вузлова точка, в якій  $U_2 > U_1$ , то аналогічно повторюємо даний процес доти, доки максимальне значення потенціалу не виявиться в точці перетину осі  $o_1y_1$  з  $l_9$  і  $l_{10}$ . Спочатку було вибрано на  $l_9$  і  $l_{10}$   $U_0 = 0,8$  і за вищевказаним способом на машині «Урал-1» знайдено, що значення потенціалу для задачі (1), (2) на горизонтальних прямих  $l_9$  і  $l_{10}$  буде знаходитися в межах  $0,945003 \leq U \leq 1$ .

Після розв'язання задачі (4), (5), (6) при граничних умовах на  $l_9$  і  $l_{10}$   $U=1$  і  $U=0,945003$  виявилося, що в області  $R$  значення потенціалу відрізняються лише в п'ятому знаці. У зв'язку з цим остаточно було вибрано прямокутник розміром  $120 \times 180$  мм і розглянена в ньому задача (4), (5), (6), розв'язок якої в області  $R$  буде відрізнятися від розв'язку задачі (1), (2) лише в п'ятому знаці.

## § 2. РОЗРАХУНОК ПОЛЯ ПЛОСКОЇ ЕЛЕКТРОННОЇ ЛІНЗИ

Розв'язок задачі (4), (5), (6) в прямокутнику розміром  $120 \times 180$  мм знаходимо за методом Г. М. Положого.

Виберемо прямокутну рівномірну сітку з горизонтальним кроком  $h=0,1$  мм і вертикальним  $h_1=5/3$  мм. Тоді

$$\gamma = \frac{h}{h_1} = 0,06;$$

$$\eta_k = 1 + \gamma^2 - \gamma^2 \cos \frac{k\pi}{108} > 1;$$

$$\mu_k = \eta_k + \sqrt{\eta_k^2 - 1}; \quad v_k = \frac{1}{\mu_k} = \eta_k - \sqrt{\eta_k^2 - 1} \quad (k=1, \dots, 107).$$

Формула сумарних зображень

$$\vec{U}(x_i) = P\Phi(i)\vec{A} + P\Psi(i)\vec{B} + P \sum_{j=1}^{i-1} G(i-j)P[h^2\vec{q}(x_j) - \gamma^2\vec{\omega}(x_j)], \quad (7)$$

де матриця

$$P = \sqrt{\frac{2}{108}} \left\| \sin \frac{ij\pi}{108} \right\|_{i,j=1}^{107};$$

$\Phi(i)$ ,  $\Psi(i)$ ,  $G(i-j)$  — діагональні матриці;

$$\Phi(i) = [\mu_1^i, \dots, \mu_{107}^i]; \quad \Psi(i) = [v_1^i, \dots, v_{107}^i];$$

$$G(i-j) = \left[ \frac{\mu_1^{i-j} - v_1^{i-j}}{\mu_1 - v_1}, \dots, \frac{\mu_{107}^{i-j} - v_{107}^{i-j}}{\mu_{107} - v_{107}} \right];$$

$\vec{A}$ ,  $\vec{B}$ ,  $\vec{q}(x_{550})$ ,  $\vec{q}(x_{600})$ ,  $\vec{q}(x_{650})$ ,  $\vec{\omega}(x_j)$  —

$n$ -мірні вектори ( $n=107$ );

$$\vec{A} = (A_1, A_2, \dots, A_{107});$$

$$\vec{B} = (B_1, B_2, \dots, B_{107});$$

$$\vec{q}(x_{550}) = \vec{q}(x_{650}) = (0, \dots, (43) \dots 0, q_1, \dots, q_9, 0, 0, 0, q_9, \dots, q_1, 0, \dots, (43) \dots 0);$$

$$\vec{q}(x_{600}) = (0, \dots, (43) \dots 0, q_{10}, \dots, q_{18}, 0, 0, 0, q_{18}, \dots, q_{10}, 0, \dots, (43) \dots 0);$$

$$\vec{\omega}(x_j) = (1, 0 \dots, (105) \dots 0, 1),$$

дає розв'язок задачі (4), (6), якщо  $\vec{q}(x_{550})$  і  $\vec{q}(x_{600})$  визначити з умови (5).

Форма стовпців  $\vec{q}(x_{550})$ ,  $\vec{q}(x_{600})$ ,  $\vec{q}(x_{650})$  випливає із симетрії розглядуваної задачі відносно осей  $ox$  і  $o_1y_1$ .

Легко показати, що розв'язок, який визначається формулогою (7), виявиться симетричним відносно осі  $ox$  тільки тоді, коли  $A_{2m}=B_{2m}=0$  ( $m=1, \dots, 53$ ). Помножуючи рівність (7) на матрицю  $P$  зліва і враховуючи, що  $PP=E$  (одинична матриця), одержимо

$$P \vec{U}(x_i) = \vec{U}(x_i) = \Phi(i) \vec{A} + \Psi(i) \vec{B} + \sum_{j=1}^{i-1} G(i-j) P [h^2 \vec{q}(x_j) - \gamma^2 \vec{\omega}(x_j)]. \quad (7')$$

Звідси

$$\vec{U}(x_0) = P \begin{vmatrix} 1 \\ \vdots \\ (107) \\ \vdots \\ 1 \end{vmatrix} = \begin{vmatrix} A_1 \\ \vdots \\ A_{107} \end{vmatrix} + \begin{vmatrix} B_1 \\ \vdots \\ B_{107} \end{vmatrix} = \begin{vmatrix} \alpha_1 \\ 0 \\ \alpha_3 \\ \vdots \\ 0 \\ \alpha_{107} \end{vmatrix}, \quad (8)$$

$$\begin{aligned} \vec{U}(x_{1200}) &= P \begin{vmatrix} 1 \\ \vdots \\ (107) \\ \vdots \\ 1 \end{vmatrix} = \begin{vmatrix} A_1 \mu_1^{1200} \\ \vdots \\ A_{107} \mu_{107}^{1200} \end{vmatrix} + \begin{vmatrix} B_1 \nu_1^{1200} \\ \vdots \\ B_{107} \nu_{107}^{1200} \end{vmatrix} + \\ &+ \sum_{j=1}^{1199} G(1200-j) P [h^2 \vec{q}(x_j) - \gamma^2 \vec{\omega}(x_j)] = \begin{vmatrix} \alpha_1 \\ 0 \\ \alpha_3 \\ \vdots \\ \vdots \\ \alpha_{107} \end{vmatrix}, \end{aligned} \quad (9)$$

де  $\alpha_k$  ( $k=1, \dots, 107$ ) — сума всіх елементів  $k$ -го рядка матриці  $P$ , причому  $\alpha_{2m}=0$  ( $m=1, \dots, 53$ ), бо для довільних натуральних  $i, j, n$

$$\sin \frac{i(n+1-j)\pi}{n+1} = (-1)^{i-1} \sin \frac{ij\pi}{n+1}.$$

Компоненти стовпця (вектора)

$$\begin{aligned} &\sum_{j=1}^{1199} G(1200-j) P [h^2 \vec{q}(x_j) - \gamma^2 \vec{\omega}(x_j)] = \\ &= h^2 [G(650) \vec{Pq}(x_{550}) + G(600) \vec{Pq}(x_{600}) + G(550) \vec{Pq}(x_{650})] - \\ &- \gamma^2 \sum_{j=1}^{1199} G(1200-j) \vec{P\omega}(x_j) \end{aligned}$$

з парними індексами також будуть нулями, через те з (8) і (9) для  $m=1, \dots, 53$  маємо

$$\begin{aligned} A_{2m} + B_{2m} &= 0; \\ A_{2m}\mu_{2m}^{1200} + B_{2m}\nu_{2m}^{1200} &= 0, \end{aligned}$$

а оскільки  $\mu_{2m} > 1$ ,  $\nu_{2m} < 1$ , то  $A_{2m} = B_{2m} = 0$ , що і забезпечує симетрію відносно осі  $ox$  розв'язку, який визначається за формулою (7).

Компоненти стовпця

$$\sum_{j=1}^{1199} G(1200-j) \vec{P}_\omega(x_j)$$

з непарними індексами являють собою різниці геометричних прогресій і, таким чином, легко визначаються.

Визначаючи  $A_{2m+1}$  і  $B_{2m+1}$  ( $m=0, 1, \dots, 53$ ) з (8) і (9) і підставляючи їх в (7), після елементарних перетворень з використанням співвідношення

$$z_k = \sqrt{\frac{2}{n+1}} \sum_{i=1}^n \sin \frac{ik\pi}{n+1} = \sqrt{\frac{2}{n+1}} \frac{2\gamma^2 \sin \frac{k\pi}{n+1}}{(\mu_k - 1)(1 - \nu_k)}$$

( $k=1, 3, 5, \dots$ ;  $n=107$ ), яке легко перевіряється, знаходимо непарні компоненти  $\tilde{U}_k(x_i)$  стовпця  $\tilde{U}(x_i)$ :

$$\begin{aligned} \tilde{U}_k(x_i) = z_k - 2h^2 \frac{\mu_k^i - \nu_k^i}{\mu_k^{1200} - \nu_k^{1200}} &\left[ \frac{\mu_k^{650} - \nu_k^{650} + \mu_k^{550} - \nu_k^{550}}{\mu_k - \nu_k} \Phi_k + \frac{\mu_k^{600} - \nu_k^{600}}{\mu_k - \nu_k} \Psi_k \right] + \\ &+ 2h^2 \frac{\mu_k^{i-550} - \nu_k^{i-550}}{\mu_k - \nu_k} \Phi_k, \quad (k=1, 3, \dots, 107), \end{aligned} \quad (10)$$

де  $2\Phi_k$  і  $2\Psi_k$  -- добутки  $k$ -го рядка матриці  $P$  відповідно на стовпці  $\vec{q}(x_{550})$  і  $\vec{q}(x_{600})$ .

Останній доданок у формулі (10) слід брати тільки при  $i > 550$ .

Враховуючи, крім того, що парні компоненти стовпця  $\tilde{U}(x_i)$  рівні нульові, визначаємо потім поле потенціалу за формулою

$$\vec{U}(x_i) = \vec{P} \tilde{U}(x_i). \quad (11)$$

При вказаному виборі стовпців  $\vec{q}(x_{550}) = \vec{q}(x_{650})$  і  $\vec{q}(x_{600})$  поле потенціалу буде симетричним відносно осей лінзи, так що його розрахунок досить провести в одній з чотирьох частин області  $R$ , що лежить між осями  $ox$  і  $o_1y_1$ .

Перше, ніж використовувати формулі (10) і (11) для практичного розрахунку, необхідно визначити стовпці  $\vec{q}(x_{550})$  і  $\vec{q}(x_{600})$  з умов (5).

Формула (7) при знайдених  $\vec{A}$  і  $\vec{B}$  з рівнянь (8) і (9) дозволяє скласти систему 18 рівнянь для визначення  $q_1, \dots, q_{18}$ .

Справді, якщо взяти компоненти  $U_{44}(x_{550}), \dots, U_{52}(x_{550})$  стовпця  $\vec{U}(x_{550})$  і  $U_{44}(x_{600}), \dots, U_{52}(x_{600})$  стовпця  $\vec{U}(x_{600})$  і прирівняти їх до значень  $U(x, y)$  на відповідних електродах, то одержимо

$$\begin{aligned} U_{44}(x_{550}) &= \dots = U_{52}(x_{550}) = 1; \\ U_{44}(x_{600}) &= \dots = U_{52}(x_{600}) = 0. \end{aligned}$$

Після деяких спрощень остання система рівнянь приводиться до вигляду

$$h^2 \sqrt{\frac{2}{108}} \left\{ \sin \frac{i\pi}{108} C_1^{(1)} + \sin \frac{3i\pi}{108} C_3^{(1)} + \dots + \sin \frac{107i\pi}{108} C_{107}^{(1)} \right\} = 0 \\ (i=44, \dots, 52);$$

$$h^2 \sqrt{\frac{2}{108}} \left\{ \sin \frac{i\pi}{108} C_1^{(2)} + \sin \frac{3i\pi}{108} C_3^{(2)} + \dots + \sin \frac{107i\pi}{108} C_{107}^{(2)} \right\} = 1, \quad (12) \\ (i=44, \dots, 52),$$

де

$$C_k^{(1)} = \frac{\mu_k^{550} - \nu_k^{550}}{\mu_k^{1200} - \nu_k^{1200}} \left( \frac{\mu_k^{650} - \nu_k^{650} + \mu_k^{550} - \nu_k^{550}}{\mu_k - \nu_k} 2\Phi_k + \frac{\mu_k^{600} - \nu_k^{600}}{\mu_k - \nu_k} 2\psi_k \right); \\ C_k^{(2)} = \frac{\mu_k^{600} - \nu_k^{600}}{\mu_k^{1200} - \nu_k^{1200}} \left( \frac{\mu_k^{650} - \nu_k^{650} + \mu_k^{550} - \nu_k^{550}}{\mu_k - \nu_k} 2\Phi_k + \frac{\mu_k^{600} - \nu_k^{600}}{\mu_k - \nu_k} 2\psi_k \right) - \frac{\mu_k^{50} - \nu_k^{50}}{\mu_k - \nu_k} 2\Phi_k. \\ (k=1, 3, \dots, 107).$$

Коефіцієнти системи (12) при  $q_1, \dots, q_{18}$ , а також її розв'язок знаходилися на машині «Урал-1» за допомогою нижче наведеного алгоритму. Так, наприклад, коефіцієнти при  $q_1, \dots, q_9$  першого рівняння системи (12) одержуються шляхом матричних множень 44-го рядка матриці  $P$  на діагональну матрицю  $M$ , а потім на 44-й, ..., 52-й стовпці матриці  $P$  відповідно; коефіцієнти при  $q_{10}, \dots, q_{18}$  одержуються таким же чином з заміною  $M$  на  $N$ , де  $M=[M_1, 0, M_3, \dots, 0, M_{107}], N=[N_1, 0, N_3, \dots, 0, N_{107}]$  — діагональні матриці

$$M_k = \frac{\mu_k^{550} - \nu_k^{550}}{\mu_k^{1200} - \nu_k^{1200}} \frac{\mu_k^{650} - \nu_k^{650} + \mu_k^{550} - \nu_k^{550}}{\mu_k - \nu_k}; \\ N_k = \frac{\mu_k^{550} - \nu_k^{550}}{\mu_k^{1200} - \nu_k^{1200}} \frac{\mu_k^{600} - \nu_k^{600}}{\mu_k - \nu_k}.$$

Коефіцієнти при  $q_1, \dots, q_{18}$  в рівняннях 10-му, ..., 18-му одержуються аналогічно з заміною  $M$  на  $D=2N$ , а  $N$  на  $L$ ,  
де  $L=[L_1, 0, L_3, \dots, 0, L_{107}]$  — діагональна матриця;

$$L_k = \frac{\mu_k^{600} - \nu_k^{600}}{\mu_k^{1200} - \nu_k^{1200}} \cdot \frac{\mu_k^{600} - \nu_k^{600}}{\mu_k - \nu_k}.$$

Наведемо одержані розв'язки системи (12):

$$\begin{aligned} q_1 &= -2,67413288, & q_7 &= -2,08982148, & q_{13} &= 4,04628036, \\ q_2 &= -2,10746734, & q_8 &= -2,15679288, & q_{14} &= 4,02365408, \\ q_3 &= -2,07640248, & q_9 &= -2,86814022, & q_{15} &= 4,03016458, \\ q_4 &= -2,07414378, & q_{10} &= 6,71528776, & q_{16} &= 4,07999798, \\ q_5 &= -2,07392362, & q_{11} &= 4,45520488, & q_{17} &= 4,29559054, \\ q_6 &= -2,07688882, & q_{12} &= 4,13167588, & q_{18} &= 6,01150428, \end{aligned}$$

а також частину поля області  $R$ , яку знайдено на машині «Урал-1» за формулами (10) і (11).

$$\begin{aligned} U(a_1) &= 0,999999990, & U(a_5) &= 0,512817898, & U(a_9) &= 0,000000108, \\ U(a_2) &= 0,999999996, & U(a_6) &= 0,532734096, & U(a_{10}) &= 0,000000362, \\ U(a_3) &= 0,823573202, & U(a_7) &= 0,570955280, & U(a_{11}) &= 0,385614520, \\ U(a_4) &= 0,792885028, & U(a_8) &= 0,586709876, & U(a_{12}) &= 0,457856240. \end{aligned}$$

Не викликає після цього великих труднощів знаходження траєкторій розглядуваної електронної лінзи. Однак ми викладемо це питання в роботі, присвяченій більш важливій електронно-оптичній системі.

**Примітка.** При підрахунку поля всередині прямокутника з постійними граничними умовами  $U=a$  на його границі за допомогою заміни  $U=V+a$  можна було б дещо простіше одержати розрахункові формули для поля і коефіцієнтів системи рівнянь для визначення  $q(x, y)$ . Однак використаний тут спосіб спрощення може виявитися корисним при розгляді подібних задач з різними постійними умовами на різних сторонах прямокутника.

## ЛІТЕРАТУРА

1. Г. Н. Положий. Численное решение двумерных и трехмерных краевых задач математической физики и функции дискретного аргумента. Изд. Киев. ун-та, 1962.

Е. С. ДОРОЖОВСКИЙ, Б. М. КОРДУБА, В. Г. КОСТЕНКО

## ЗАДАЧА ДИРИХЛЕ ПЛОСКОЙ ЭЛЕКТРОСТАТИКИ

(р е з ю м е)

В работе решается внешняя задача Дирихле для плоской электростатики в неограниченной области методом Г. Н. Положего путем сведения последней к внутренней задаче в прямоугольнике для уравнения Пуассона.

Используя симметрию задачи, на ЭВМ решена возникающая при этом система алгебраических уравнений, а также по сравнительно простой формуле суммарных представлений найдено поле потенциала.